羽根なし撹拌機の孔寸法と撹拌性能の関係

日大生産工(院) 〇青木 宏樹 日大生産工 安藤 努 日大生産工 仁科 憂也 日大生産工 谷田部遼

1 緒言

撹拌は塗料の調製や食品の製造など、様々な産業分野で混合や反応の促進を目的に利用されている ¹⁾. 一般的に撹拌には、モーターとモーターに軸を介して取り付けられた羽根とで構成される撹拌機が用いられる. この撹拌機はモーターの回転に従動する羽根により撹拌槽内の流体が混合されることで撹拌が行われる.

しかし、この撹拌機にはいくつかの問題がある。一つは高速回転時に羽根の影響によって発生するキャビテーションにより、羽根に損傷が生じることである。もう一つは撹拌槽内壁へ羽根が接触することで発生した切削物が撹拌対象物に異物として混入するコンタミネーションが発生することである。

こうした問題を解決するために遠心力を利用した羽根なし撹拌機が開発された²⁾.この羽根なし撹拌機は羽根がない代わりに,遠心力を利用して撹拌を行う.

羽根なし撹拌機は近年開発された新しい技術であるためにデータが少なく, 撹拌機直径や孔寸法(吸入口や吐出口), 外形形状などの各因子が撹拌性能(混合性能や吐出流量)に対してどのような影響を与えるのかが解明されていないのが現状である. そこで本研究では, 羽根なし撹拌機の孔寸法が撹拌性能に与える影響を解明することを目的に, 脱色反応法による混合時間の計測および PIV による吐出口付近の速度分布計測を行った.

2. 実験装置および実験方法

2.1 実験装置

実験で使用した羽根なし撹拌機を図1に示す.羽根無し撹拌機は吐出口である側面の穴と吸入口である底面にある穴を繋ぐL字の流路が等間隔に三つ設けられている.また,吸入口および吐出口の孔寸法 d は 10, 15, 20 mm の三種類とした.

実験で用いた撹拌槽の寸法および撹拌位置を図2に示す. 撹拌槽は透明アクリル製円筒水槽(D=215 mm)を用い、液面高さH=215 mm(撹

拌液量: 3.1 L)とした. また, 撹拌機高さは撹拌機の吐出口が撹拌槽底面から 107.5 mm(h=0.5H)の位置になる高さにした. 撹拌液には水道水(粘度 μ =1 mPa·s)を用いた. 本実験では, 光の屈折を防ぎ, 観察しやすくするために円筒水槽を水で満たした四角容器に置いた. なお, 回転数 n は 100, 200, 300 rpm o 3 パターンとした.

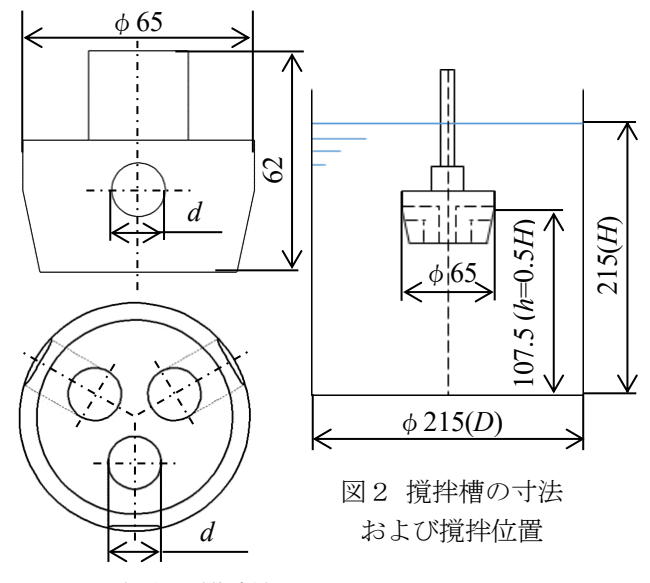


図1 羽根なし撹拌機

(単位:mm)

2.2 実験方法

混合過程の可視化および混合に要する時間 の測定には脱色反応法を用いた.脱色反応法 は、着色剤によって着色した撹拌液に脱色剤 を注入し、脱色に要する時間から混合時間を 求める手法である.

混合時間の判別には画像解析ソフト ImageJ を用いた. ImageJ は撮影した画像を 256 階調の白黒画像に変換し,画像全体の輝度値の平均値を算出することができる.混合時間は脱色剤の投入開始時点から撹拌槽全体の輝度値の平均値が閾値に達する時点までとした. 閾値は脱色が完全に終了した時の撹拌槽全体の輝度値の平均値の 95%の値とした. これは,

Relationship between Pore size and Mixing Performance of Blade-less Stirrer

Hiroki AOKI, Tsutomu ANDO, Yuya NISHINA and Ryou YATABE

混合時間の判別に5%の余裕を与えるためである.

PIV 計測では,撹拌槽内の溶液に比重 1.4,平均粒経約 $10~\mu m$ の銀コーティングされたガラス中空粒子を適量分散させた後,撹拌機の回転を開始した.撹拌槽内の流動状態が定常状態になったことを確認した後,シート状にしたレーザー光を照射し,NAC 製のハイスピードカメラを用いて撮影を行った.ハイスピードカメラの撮影速度は 1500,3000,4500 fps とし,三回転分の画像を撮影した.撮影した画像から,吐出口付近の縦断面における速度分布を計測した.なお,PIV 解析にはカトウ光研(株)の FlowExpert2D2C を用い,2 mm間隔の正方格子で $d\times3$ の範囲の速度分布を求めた.

3. 実験結果

孔寸法の異なる羽根なし撹拌機の t_{M} -n 線図を図3に示す。図3のグラフから,孔寸法 d=10 mm の羽根なし撹拌機では,全ての回転数において最も長い混合時間を示すことが確認できた。また,孔寸法 d=15,20 mm の羽根なし撹拌機では,回転数 n=100 rpm のときに大きな差が生じるが,n=200,300 rpm では同じような値に収束することが確認できた。この結果から,回転数 n が低いほど,孔寸法 d が混合時間 t_{M} に与える影響が大きいことが考えられる.

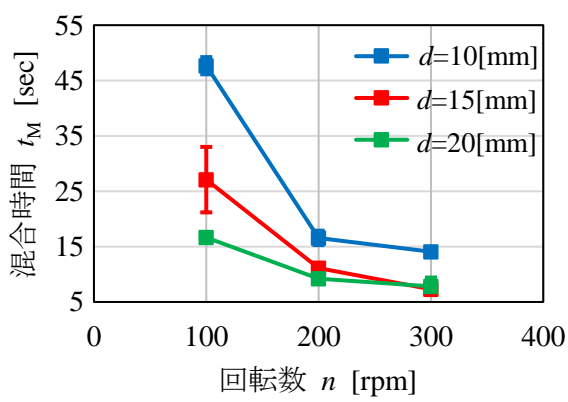


図3 孔寸法の異なる羽根なし撹拌機の t_M-n線図

吐出口付近の水平方向流速 v_x の経時変化を図4に示す。図4のグラフから, v_x が大きな値を示す箇所が複数存在することが確認できる。この v_x が大きな値を示す周期は,計測範囲を吐出口が通過する周期と一致している。このことから,大きな値を示した時の v_x を吐出流速と判断した。吐出流速には大きなばらつきがあることから,他の羽根なし撹拌機と比較するた

めに三回転間の吐出流速の平均値を算出した.

孔寸法の異なる三種類の羽根なし撹拌機の 吐出流速の平均値を比較したところ, どの回転 数においても±13%の誤差範囲にあった.この 結果から, 孔寸法の大きさの違いは羽根なし撹 拌機の吐出流速に対して, 大きな影響を与えな いことが考えられる.

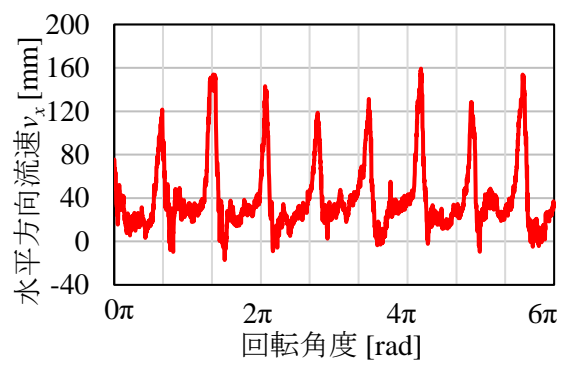


図 4 吐出口付近の流速 v_x の経時変化 (d=15 mm, n=200 rpm)

孔寸法の異なる羽根なし撹拌機の吐出流量と回転数の関係を図5に示す.吐出流量Qは吐出流速に吐出口の断面積を掛けることで算出した.Qは孔寸法dおよび回転数nが大きくなるにつれ、増加することが確認できた.

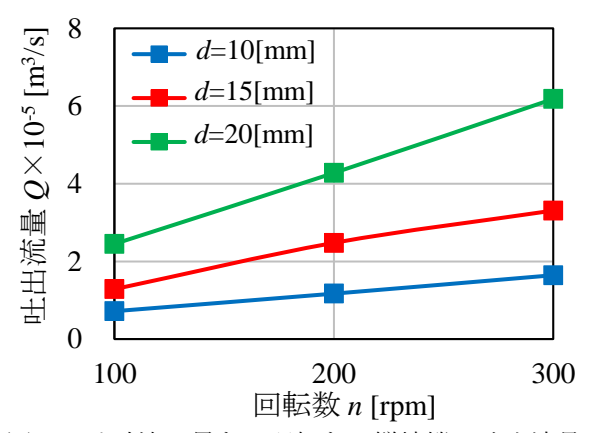


図5 孔寸法の異なる羽根なし撹拌機の吐出流量 と回転数の関係

4. 結言

本研究では、穴寸法の異なる羽根なし撹拌機の混合時間の計測および吐出口付近の速度分布計測を行うことで、羽根なし撹拌機の孔寸法が撹拌性能(混合性能や吐出流量)に与える影響について確認することができた.

「参考文献」

- [1] 化学工学会編, 最新 ミキシング技術の 基礎と応用, 三恵社, 2010, p.28
- [2] 特開 2011-5349, 撹拌用回転体および撹拌装置